

بررسی تجربی تاثیر پارامترهای عملیات تنفس زدایی بر کاهش طول آزاد فنرهای آستینیتی در اثر بارگذاری متناوب

یاسر مغانی قهرمانلویی^۱، مهدی احمدی نجف‌آبادی^۲ و سیروس آقانجفی^۳

Yaser.moghani@gmail.com

چکیده

پس از تولید فنرها تنفس های پسماند مختلفی در سطح داخلی و خارجی مفتول فنر تولید می شود. بعضی از این تنفس های پسماند از جمله تنفس های پسماند فشاری مفید و بعضی دیگر مضر می باشند. اثراً این تنفس ها باعث می شوند فنرها هنگام بارگذاری متناوب دچار افت طول و افت تنفس (spring relaxation) شوند. برای بررسی این موضوع در این تحقیق ابتدا دستگاه تستی با فرکانس ۰/۵ هرتز ساخته شد، در ادامه با ایده گیری از مکانیزم عملکرد دستگاه تقسیم دستگاه فرز و مکانیزم عملکرد بادامک، فیکسچری جهت تعیین مقدار جابجایی فنر در تست و میزان حداقل فشرده‌گی فنر در طول کلیه مراحل تست فنر طراحی و ساخته شد. در ادامه فنرهای ساخته شده تحت عملیات حرارتی تنفس زدایی با نرخ های مختلف دمایی و زمانی قرار گرفتند. فنرهای حاصل از تنفس زدایی به وسیله تستر ساخته شده تحت بارگذاری دینامیکی قرار گرفتند و طول آزاد آنها پس از ۱۰۰۰۰ سیکل کاری اندازه گیری شد. با بررسی نتایج حاصل از این تست، تاثیر تغییرات دما و زمان عملیات تنفس زدایی بر کاهش طول آزاد فنرها مورد بررسی قرار گرفت. معادله تقریبی درجه یک و دو حاکم بر داده های آزمایش استخراج شد و در نهایت عملیات تنفس زدایی بهینه بدلست آمد.

کلیدواژه:

فنر- تنفس زدایی- دما- زمان- کارکرد دینامیکی- افت تنفس- طول فنر

۱- دانشجوی کارشناسی ارشد مهندسی مکانیک ساخت و تولید، دانشگاه آزاد اسلامی واحد علوم و تحقیقات تهران

۲- استادیار، دانشکده مهندسی مکانیک، دانشگاه صنعتی امیرکبیر

۳- دانشیار، دانشکده مهندسی مکانیک، دانشگاه آزاد اسلامی واحد علوم و تحقیقات تهران

ربیو گونزالس [۲] نیز افت ثابت فنر را برای چند فنر محدود تنش زدایی شده در دما و زمان های مختلف را مورد بررسی قرار دادند، و به این نتیجه رسیدند که دمای تنش زدایی و زمان آن بر روی افت تنش فنر موثر است. آنها همچنین با اندازه گیری تنش پسماند فنرها قبل و بعد از تنش زدایی نشان دادند که تغییرات دما و زمان تنش زدایی منجر به نرخ های متفاوت تغییر تنش پسماند کششی شده، و نتیجه گیری کردند که افت بیشتر تنش پسماند کششی، منجر به کاهش افت ثابت فنر می شود. به علت محدود بودن تست های انجام گرفته رابطه مشخصی بین دمایها حاصل نشد. تغییرات تنش پسماند فنرهای تنش زدایی شده و ساقمه زده شده نیز در مرجع شماره [۷] مورد بررسی قرار گرفت، اما افت تنش در این تحقیق نشان داده نشد و نتیجه حاصل، نشان دهنده کاهش تنش پسماند فشاری طی تنش زدایی و افزایش آن طی ساقمه زنی بود. بیشتر تحقیقاتی که تا به حال در رابطه با فنر انجام شده، راجع به خستگی و شکست فنرها بوده، یا در مورد تغییرات تنش پسماند طی پروسه های انجام گرفته بوده است، در این تحقیق با آگاهی از این که دما و زمان عملیات تنش زدایی بر روی تنش پسماند فنر موثر است و تنش پسماند در رابطه با افت تنش می باشد، رابطه عملیات حرارتی تنش زدایی با کاهش نیروی فنر یا به بیان دیگر افت تنش فنر، در اثر نیروهای دینامیکی مورد بررسی قرار گرفت.

۲- کار عملی و تجربی

برای این تحقیق متریال فنر، از جنس فولاد آستینیتی S.S. 304 انتخاب شد. مقاومت این نوع مواد فنری در مقابل خوردگی فوق العاده می باشد و از دمای زیر صفر تا دمای ۲۹۰ درجه سانتیگراد قابلیت استفاده دارند [۹]. در مرحله بعد با استفاده از دستگاه CNC مخصوص تولید فنر، عدد فنر چهارگرد با قطر مفتوح ۴ mm، قطر داخلی ۱۷ mm، طول آزاد ۶۲ mm تعداد حلقه های فعال ۷ ساخته شد. دو انتهای فنرهای ساخته شده با استفاده از دستگاه مخصوص سنگ زنی فنرها، سنگ زده شد، به نحوی که دو انتهای فنر سنگ خورده، کاملاً نسبت به هم موازی باشند.

در مرحله بعد، فنرهای ساخته شده، تحت بازرسی قرار گرفت تا اولاً از لحاظ ابعادی کاملاً درست باشند، ثانیاً در اثر سنگ زنی دو انتهای فنر چار سوختگی نشده باشند و دارای پلیسه نباشند. برای بررسی تاثیر عملیات حرارتی تنش زدایی روی افت طول فنر، به تعداد مورد نیاز از فنرهای ساخته شده، که دارای ابعاد و متریال همسان بودند انتخاب شد. در ادامه برای تست دینامیکی فنرها دستگاه تستی که شامل موتور محرک و گیربکس و سیستمی جهت انتقال چرخش

۱- مقدمه

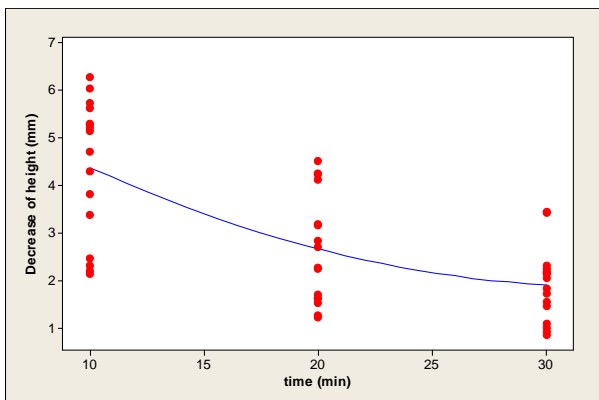
فنرها اجزای مکانیکی هستند که برای اعمال نیرو، ایجاد انعطاف پذیری و ذخیره یا جذب انرژی در ماشین ها مورد استفاده قرار می گیرند [۱]. در طی ساخت فنرهای مارپیچی فشاری (پیچیدن در حالت سرد)، تغییر شکل پلاستیک و تنش زیادی تولید می شود. هنگامی که پروسه ساخت فنر به اتمام رسید، این تنش های دائمی، تنش های پسماند کاهش می دهد. در این حین، تنش پسماند کششی و تنش پسماند فشاری در سطح داخلی و خارجی فنر تولید می شوند، که علت آن تغییر شکل پلاستیک یکنواخت در طی ساخت فنرهای پیچیده شده در حالت سرد است [۲]. نتیجه هایی که از بررسی مقالات و تحقیقات مختلف بدست آمده است، بیان می کند که تنش پسماند فنر، یکی از مهمترین پارامترهای فیزیکی در طی مراحل مختلف تولید فنر است. فهم و کنترل وضعیت تنش پسماند در طول پروسه های مختلف تولید فنر، معادل کنترل مقاومت در برابر خستگی، مقاومت در برابر افت تنش و مقاومت در برابر تغییر شکل فنر می باشد [۳].

از آنجایی که تنش های پسماند کششی باعث ایجاد ترک و رشد آن می شوند، تاثیرات نامطلوب آنها برای ما شناخته شده می باشد [۴] و [۵]. تنش پسماند کششی و پسماند فشاری تحت تاثیر پروسه های مختلف از قبیل عملیات حرارتی تنش زدایی یا ساقمه زنی چار تغییر می شود [۶]. هنگامی که عملیات حرارتی بر روی فنر فرم داده شده انجام می شود، تنش پسماند بسته به دما و زمان عملیات حرارتی کاهش می باید، اما به طور کلی از بین نمی رود. دمای این عملیات تنش زدایی، نباید از مقداری بیشتر باشد، افزایش بیش از حد دما و زمان، حتی آثار نامطلوب هم می تواند در پی داشته باشد [۲]. نکته ای که باید به آن توجه کرد، این است که، بعضی مواقع نگهداشتن فنر در کوره حرارتی، ممکن است پروسه تنش زدایی را خیلی پر هزینه کند [۷] و [۸].

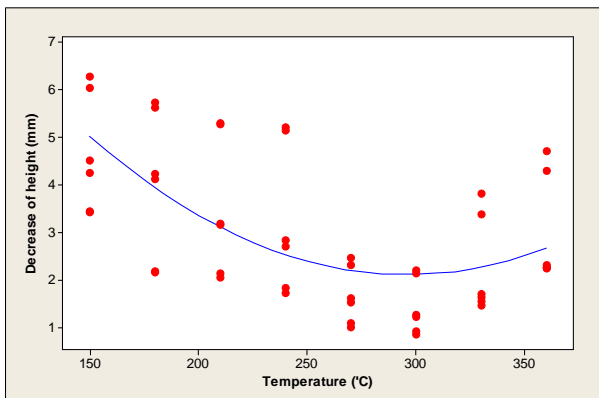
فنرها هنگام کارکرد ممکن است با عیوب مختلفی مواجه شوند، یکی از این عیوب افت تنش فنر می باشد. افت تنش کاهش ثابت فنر یا طول آزاد فنر می باشد. افت تنش هنگامی روی می دهد که فنر در معرض نیروهای تناوبی یا در معرض یک نیروی ثابت قرار گرفته باشد [۲]. در بعضی از مصارف خاص نیروی حاصل از فشردنگی فنر هنگام کارکرد آن از اهمیت فراوانی برخوردار است. لذا لازم است، به طور مختلف کاهش نیروی فنر، کنترل شود [۹]. افت تنش فنرهای کششی در محیط های با دمای های مختلف توسط دیخوزین و ربینو [۱۰] مورد بررسی قرار گرفت، نتایج این تحقیق حاکی از این بود که در دمای های کاری بالا، درصد افت تنش بیشتر است. دلانو ویزکایا و

اندازه‌گیری نرخ کاهش طول فنرهای ۳۰ دقیقه حرارت دیده در شکل (۵) نشان داده شده است.

شکل (۶) نیز نرخ کاهش طول را در طی ۱۰۰۰۰ سیکل برای فنرهای ۳۰ دقیقه حرارت دیده نشان می‌دهد.



شکل (۲): پراکندگی آماری کاهش طول نسبت به مدت زمان تنش زدایی و گراف مربوط به آن



شکل (۳): پراکندگی آماری کاهش طول نسبت به دمای تنش زدایی و گراف مربوط به آن

پس از استخراج نتیجه آزمایش، معادله تقریبی درجه یک حاکم بر این داده‌ها بین پارامترهای دما و زمان عملیات تنش زدایی مطابق معادله (۱)، معادله تقریبی درجه دو حاکم بر این داده‌ها مطابق معادله (۲) می‌باشد.

$$\text{معادله (۱)}$$

$$\text{Decrease of Height} = 8.2909 - 0.01114(\text{Temp.}) - 0.12344(\text{Time})$$

$$\text{معادله (۲)}$$

$$\text{Decrease of Height} = 18.09 - 0.08051(\text{Temp.}) - 0.3152(\text{Time}) + 0.000136(\text{Temp.})^2 + 0.004794(\text{Time})^2$$

موتور به گیربکس بود ساخته شد که دارای فرکانس ۵/۰ هرتز برای عملیات تست بود.

مساله بعدی که باید بررسی می‌شد، ساخت و طراحی سیستمی جهت تعیین مقدار جابجایی فنر در تست و میزان حداقل فشردنگی فنر در طول کلیه مراحل تست فنر بود. بدین منظور با ایده گیری از مکانیزم عملکرد دستگاه تقسیم دستگاه فرز و مکانیزم عملکرد بادامک، فیکسچری طراحی و ساخته شد، در مرحله بعد فیکسچری با دو میله راهنمای ساخته شد، که قابلیت سوار شدن ۳ فنر را به طور همزمان داشته باشد. بعد از ساخت تستر فنر، فنرها تحت ۲۴ نوع عملیات تنش زدایی مختلف قرار گرفتند. بدین صورت که فنرها تحت درجه حرارت‌های ۱۵۰، ۳۰۰، ۳۳۰، ۳۰۰، ۲۷۰، ۲۴۰، ۲۱۰، ۱۸۰ و ۳۶۰ درجه سانتیگراد، به مدت ۱۰، ۲۰ و ۳۰ دقیقه، تنش زدایی شدند. در این تحقیق تکرار در نظر گرفته شد تا در صد خطای پایین آمد، همچنین تاثیر عوامل جانبی به حداقل برسد.

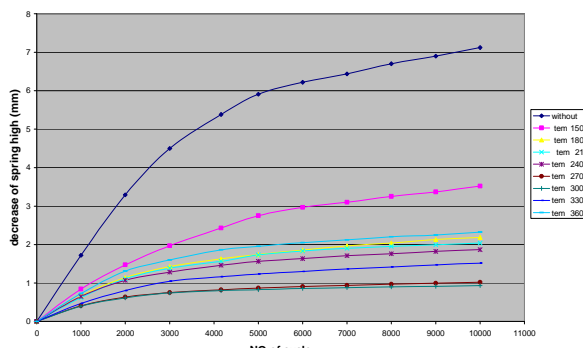
در ادامه فنرهای تنش زدایی شده داخل فیکسچر ساخته شده قرار گرفت و مطابق شکل (۱) زیر میل بادامک دستگاه تست قرار گرفت. دستگاه تست طوری تنظیم شد که، فنرها دارای کورس حرکت ۱۵ mm و پیش فشردنگی برابر ۱۰ mm باشند، در ادامه آزمایش در پایان ۱۰۰۰۰ سیکل کاری مقدار افت طول فنرها برای تحلیل آنها، یادداشت شدند. در این بین برای بررسی نرخ کاهش طول فنرها، فنرهایی که به مدت زمان ۳۰ دقیقه تنش زدایی شده بودند، هر ۱۰۰۰ سیکل از تست خارج شده و طول آنها یادداشت شد.



شکل (۱): دستگاه تست فنر و فیکسچر مربوطه

۳- بحث و بررسی

پس از اندازه‌گیری‌های انجام گرفته، پراکندگی آماری کاهش طول نسبت به مدت زمان تنش زدایی و گراف مربوط به آن مطابق شکل (۲) و پراکندگی آماری کاهش طول نسبت به دمای تنش زدایی و گراف مربوط به آن مطابق شکل (۳) می‌باشد. نتایج کلی این تحقیق که بیانگر تاثیر دمای و مدت زمان تنش زدایی می‌باشد در شکل (۴) نشان داده شده است. همچنین پراکندگی آماری داده‌ای



شکل (۶) : کاهش طول آزاد فنرهای تنش زدایی شده در درجه حرارت های مختلف نسبت به تعداد سیکل

برای بررسی صحت معادله های بدست آمده از نتایج آزمایش ، فرنی به مدت ۳۰ دقیقه و تحت دمای ۲۷۰ درجه تحت عملیات تنش زدایی قرار گرفت . فنر حاصل تحت ۱۰۰۰۰ سیکل کاری قرار گرفت، کاهش صورت گرفته برابر $1/0.8 \text{ mm}$ بود . اما پیش بینی معادله ۱ برابر $2/21278 \text{ mm}$ و پیش بینی معادله ۲ برابر $1/1253 \text{ mm}$ می باشد . این مساله دقت بیشتر معادله (۲) را نشان می دهد، که با تقریب خوبی نتیجه عملیات حرارتی را نشان می دهد.

۴- بررسی نتایج و نتیجه گیری

۱- افزایش درجه حرارت تنش زدایی، منجر به کاهش افت طول آزاد فنر طی سیکل های کاری می شود، اما افزایش بیش از حد دمای تنش زدایی، تاثیر منفی دارد و در نتیجه باعث افزایش افت طول فنر می شود، دمای پهنه تنش زدایی 300 درجه سانتیگراد می باشد.

۲- افزایش مدت زمان تنش زدایی، منجر به کاهش افت طول آزاد فنر طی سیکل های کاری می شود. بهترین شیخه در مدت زمان ۳۰ دقیقه بدست می آید.

۳- تاثیر پارامتر زمان، بیشتر از دما می باشد. که این مساله با توجه به کنترل راحت تر زمان عملیات نسبت به دما، مزیتی برای کنترل فرآیند می باشد.

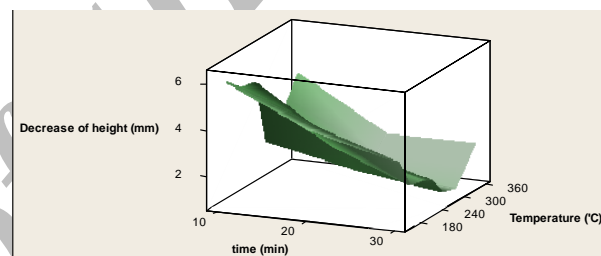
۴- هر چند عملیات حرارتی های مختلف، نتایج متفاوتی از لحاظ کاهش طول آزاد فنر در پی داشته اند، اما این فنرهای تحت نرخ تقریباً مشابهی کاهش طول داشته اند.

۵- فنرهای با عملیات های تنش زدایی مختلف، در ساعات اولیه آزمایش، بیشترین افت طول را داشته اند، که این مساله مستقل از نوع عملیات تنش زدایی می باشد.

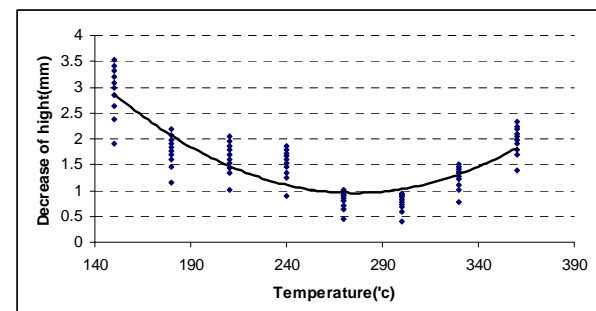
بررسی داده های این آزمایش و معادله های حاکم بر این نتایج (۱) و (۲) بیانگر تاثیر بیشتر پارامتر زمان نسبت به دما می باشد که با توجه به کنترل راحت تر و آسان تر پارامتر زمان، رسیدن به نتیجه مورد نظر، راحت تر می باشد.

بررسی داده های این تحقیق و معادله حاکم بر آن، نشان می دهد که با افزایش مدت زمان عملیات تنش زدایی افت طول فنرهای اثر کارکرد دینامیکی کاهش پیدا کرده است.

همچنان افت طول فنرهای در اثر نیروی دینامیکی، با افزایش دمای تنش زدایی تا 300 درجه سانتیگراد کاهش می یابد، اما بعد از آن با افزایش دمای تنش زدایی تا 360 درجه سانتیگراد، افت طول فنر، افزایش یافته است.



شکل (۴): تاثیر دما و مدت زمان تنش زدایی بر کاهش طول فنر



شکل (۵): پراکندگی آماری کاهش طول نسبت به دما تنش زدایی و گراف مربوط به آن برای فنرهای ۳۰ دقیقه حرارت دیده

بررسی شکل (۶) مربوط به عملیات های تنش زدایی 30 دقیقه ای نشان می دهد که در عملیات های مختلف تنش زدایی، کاهش طول فنر بیشتر در ساعات اولیه آزمایش روی می دهد و کاهش طول فنرهای در ادامه تقریباً حالت میرایی به خود می گیرد. همچنان افت طول فنرها در اثر نیروی دینامیکی، با افزایش دمای تنش زدایی تا 300 درجه سانتیگراد کاهش می یابد، اما بعد از آن با افزایش دمای تنش زدایی تا 360 درجه سانتیگراد، افت طول فنر، افزایش می یابد.

-۵- مراجع

- [6] J. Matejicek, P.C. Brand, A.R. Drews, A. Krause, C. Lowe-Ma, "Residual stresses in cold-coiled helical compression springs for automotive suspensions measured by neutron diffraction", Materials Science and Engineering , A 367, pp. 306–311, 2004.
- [7] H. Carlson, Spring Designer's Handbook, New York Marcel Dekker, 1978.
- [8] SAE Spring Committee, Spring Design Manual, Society of Automotive Engines, UAS 1990.
- [9] Y. Yamada , Materials for Springs, Springer, Verlag Berlin Heidelberg , 2007.
- [10] R.C. Dykhuizen and C.V. Robino, "Load Relaxation of Helical Extension Springs in Transient Thermal Environments", ASM International, 2004.
- [1] J. E. Shigley, Mechanical Engineering Design, New York McGraw-Hill, 1998.
- [2] L. Del Llano-Vizcaya, C. Rubio-Gonzalez , G. Mesmacque and A. Banderas-Hernández, "Stress relief effect on fatigue and relaxation of compression springs", Materials and Design Vol. 28, pp. 1130–1134, 2007.
- [3] R. Wang, "Review on the Residual Stress in through the Course of Manufacture Technique for Cold Formed Coil Spring", Institute of Aeronautical Materials, Beijing, China , 2006.
- [4] F. Artaraz, S. Sa'nclez Beitia, "An unsuitable residual stress state in train springs originated by shot peening", Int J Fatigue, Vol. 13(2), pp. 165–8, 1991.
- [5] M. T. Todinov, "Residual, stresses at the surface of automotive suspension springs", J Mater Sci 2000;35:3313–20.